

## 立體トランサルの自由振動解析について

九州大学 正員 村上 正  
山口大学 教員 山田 恒義

## 1. まえがき

これまでに、トランサルの振動解析あるいは動的問題について多くの研究がなされてきた。しかしほとんどの平面トランスを対象とするものである。元来、トランサルは立體的な構造であるので立體のままで考察する方が厳密であり望しい。とくに、長大橋の一端である連続トランス橋などは立體トランサルだと考へ、あらゆる方向の動的挙動を解明すべきである。本研究はこの問題に関する一提案である。立體トランスの自由振動解析に変形法を用ひたことができるが、振動方程式が相当次数の行列式となり、これより固有値および固有ベクトルを求めることは多大な努力と計算時間を要する。(しかし、平面トランスと同じかそれ以下に行列式の次数を低下させることが可能であつて、この難点は解消される)と考えた。そこで、本研究では直角トランスおよび対称構造が半径方向に配置された曲りトランスに注目し、これを立體的に取り扱うと同時に、振動方程式の次数を下げ固有値および固有ベクトルの算出を容易にすることを試みた。

トランス橋の対称構造を含む横断面形の変化は上路式であるか下路式であるかにより異なり、これが振動に影響を与える。されば、これは横断面形の変化を無視した場合とこれを考慮した場合についてその解法を示した。解析に当って次の事項を仮定した。

- a. トランス一級の復元が成立する。
- b. 立體トランサルの質量は各節点に集中させた。
- c. セン断中心は横断面形変化の前後でその位置を変えない。
- d. 振動に対する減衰力は仮定しない。

解析を容易にするため、直角トランスには直角座標と、曲りトランスには円筒座標を適用した。図-1a, bに横断面番号、節点番号のつけ方を示す。

## 2. 横断面形の変化を無視した場合

一つの横断面の未知量は、そのセン断中心からの移動に直角な方向の水平変位  $U_i$ 、同じく鉛直変位  $W_i$ 、セン断中心を通じて橋軸に平行な軸まわりの回転変位  $\Theta_i$  および四隅の節点から橋軸方向の接線変位  $V_{4i+m}$  ( $m=1, 2, 3, 4$ ) である。

これらの変位が  $i$  番目の横断面に生ずると四隅の節点に起る変位は図-2を参照して求められる。

$$\bar{U}_{4i+m} = U_i + \Theta_i C_{4i+m}, \bar{V}_{4i+m} = V_{4i+m} \quad \dots(1)$$

$$\bar{W}_{4i+m} = W_i - \Theta_i S_{4i+m}$$

$C_{4i+m}, S_{4i+m}$  は  $i$  の座標と直角座標

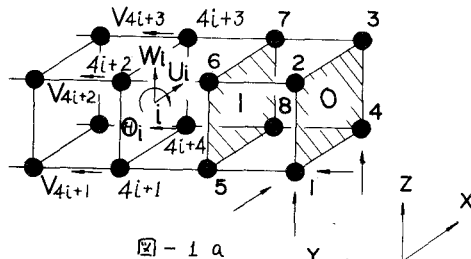


図-1a

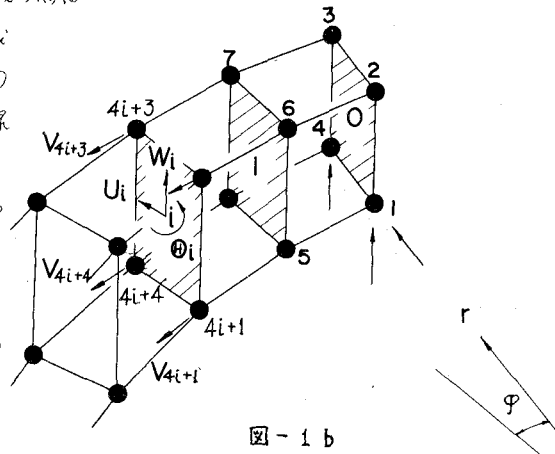


図-1b

$(x_{si}, y_{si}, z_{si})$ , 1回簡便標で  $(r_{si}, \theta_{si}, \varphi_{si})$  とする

$$c_{x,4l+1m} = x_{4l+1m} - x_{si}, c_{y,4l+1m} = y_{4l+1m} - y_{si}, c_{z,4l+1m} = z_{4l+1m} - z_{si} \quad \dots \quad (2)$$

筋拘束した横断面  $i-1$ ,  $i$  および  $i+1$  のそれらの中から任意の節点  $j = 4(l-1)+n, k = 4l+m, l = 4(i+1)+n$  ( $m, n = 1, 2, 3, 4$ ) をとり,  $K$  とを結ぶ部材の  $K$  番の部材反力を  $N_{kj}'$  とする

$$N_{kj}' = \frac{EA_{kj}}{l_{kj}} (-\bar{U}_j \lambda_{jk} - \bar{U}_k \lambda_{kj} - \bar{V}_j V_{jk} - \bar{V}_k V_{kj} - \bar{W}_j W_{jk} - \bar{W}_k W_{kj}) \quad \dots \quad (3)$$

$= r, \lambda, \mu, \nu$  は次の通りである。

直角座標 …  $\lambda_{kj} = (x_j - x_k) / l_{kj}$ ,  $V_{kj} = (y_j - y_k) / l_{kj}$ ,  $W_{kj} = (z_j - z_k) / l_{kj}$

回転座標 …  $\lambda_{kj} = \{Y_j \cos(\varphi_j - \varphi_k) - Y_k\} / l_{kj}$ ,  $V_{kj} = Y_j \sin(\varphi_j - \varphi_k) / l_{kj}$ ,  $W_{kj} = (Z_j - Z_k) / l_{kj}$

式(3)を  $U_i, W_i, \Theta_i$  で表す  $\lambda_{kj} = U_i$ ,  $V_{kj} = E A_{kj} / l_{kj}$  とする

$$N_{kj}' = K_{kj} \{-U_i \lambda_{jk} - U_i \lambda_{kj} - W_i V_{jk} - W_i V_{kj} - \Theta_i (E A_{kj} \lambda_{jk} - E A_{kj} \lambda_{kj}) - \Theta_i (e_{ik} \lambda_{kj} - e_{ki} \lambda_{kj}) - V_j V_{jk} - V_k V_{kj}\} \quad \dots \quad (4)$$

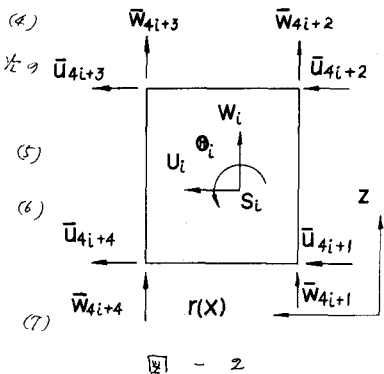
回転座標系で運動方程式を求める場合、横断面  $i$  の運動方程式は次のようになる。

よしと書かれる。

$$m_i \frac{d^2 U_i}{dt^2} = \sum_{m=1}^4 \sum_{n=1}^4 (N_{ke} \lambda_{ke} + N_{kj}' \lambda_{kj}) \quad \dots \quad (5)$$

$$m_i \frac{d^2 W_i}{dt^2} = \sum_{m=1}^4 \sum_{n=1}^4 (N_{ke} V_{ke} + N_{kj}' V_{kj}) \quad \dots \quad (6)$$

$$\begin{aligned} L_i \frac{d^2 \Theta_i}{dt^2} = & \sum_{m=1}^4 \left\{ e_{ik} \sum_{n=1}^4 (N_{ke} \lambda_{ke} + N_{kj}' \lambda_{kj}) \right. \\ & \left. - e_{ki} \sum_{n=1}^4 (N_{ke} V_{ke} + N_{kj}' V_{kj}) \right\} \quad \dots \quad (7) \end{aligned}$$



節点  $k$  の橋脚方向、すなはち接線方向の運動方程式は

$$m_{ik} \frac{d^2 V_k}{dt^2} = \sum_{n=1}^4 (N_{ke} U_{ke} + N_{kj}' U_{kj}) \quad \dots \quad (8)$$

$= r$ ,  $m_{ik}$  は横断面  $i$  の質量,  $L_i$  は質量慣性モーメント,  $m_{ik}$  は節点  $k$  の質量である。

以上の運動方程式に式(4)を代入し、 $\pm 3K$ ,

$$U_i = u_i e^{i \omega t}, W_i = w_i e^{i \omega t}, \Theta_i = \theta_i e^{i \omega t}, V_k = v_k e^{i \omega t}$$

(指標中の  $i$  は回転数  $i = 1, 2, 3, 4$ ) を代入すると  $= r = \omega = \omega_0 = \omega$ ,

運動方程式を  $U_i, W_i, \Theta_i, V_k$  で表す  $= r$  で表す。

以上の運動方程式をトラスの右横断面に適用する =  $r$  により一連の運動方程式が得られる。結果、振動方程式が求められる。

### 3. 横断面形の変化を考慮した場合

この場合、前記の級差に加之し、工了に次の級差を入れる。

- a. 横断面はその面内に作用する外力に対する箱形ラーメンとして抵抗するが面外荷重に対する抵抗しない。
- b. 横断面を構成する部材中、横たわるあるいは水平打撃構部材の曲げ剛性は一般に直角柱のそれと比べて大きい。そのため横断面形の変化は直角柱の曲げ変形に起因する。
- c. 横断面の

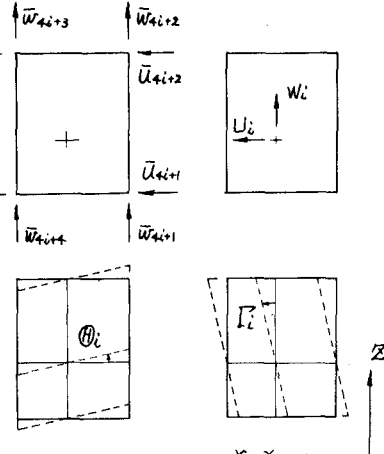


図 - 3

変位および変形は次の変形量の合成であります(同一-3)。

①せん断中心の水平および鉛直変位( $U_i$ ,  $W_i$ )、②横断面形の鉛直せん断変形( $\dot{U}_i$ )、③横断面形の水平せん断変形( $\ddot{U}_i$ )。

結局、一種断面の未知量は上記  $U_i$ ,  $W_i$ ,  $\theta_i$ ,  $I_x$  の他に横断面の四隅の節点の橋軸方向の荷載変位  $V_{ik}$  である。以上の条件が横断面に生ずるヒンジ、節点変位は図-3を参照(2次式)とせよ。

$$\bar{U}_k = U_k^i + T_k^i e_{kk}, \quad \bar{V}_k = V_k, \quad \bar{W}_k = W_k^i - \Theta_k e_{kk}, \dots \quad (9)$$

以上の部材応力は次のようになる。

$$N_{ij} = K_{ij} (-U_{i,-}\lambda_{j+} - U_{i,+}\lambda_{j-} - W_{i,-}V_{j+} - W_{i,+}V_{j-}) + \Theta_{ij} (C_{ij} V_{j+} + C_{ij} V_{j-} - I_{i,-} E_{ij} V_{j+} - I_{i,+} E_{ij} V_{j-} - V_j U_{i+} - V_k U_{i-}) \dots \quad (10)$$

横断面および節点の運動方程式(図-4)を参照して、式(3.3).

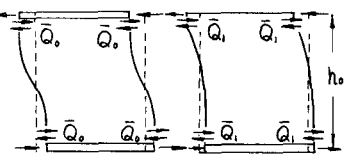
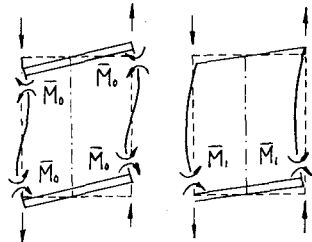
$$2\pi c \frac{d^2 U_{ij}}{dt^2} = \sum_{m=1}^4 \sum_{n=1}^4 (N_{kem} \lambda_{km} + N_{ken} \lambda_{kn}) \dots \quad (11)$$

$$m_i \frac{d^2 W_i}{dt^2} = \sum_{M=1}^4 \sum_{N=1}^4 (N_{M,i} V_{M,i} + N_{M,j} V_{M,j}) \dots \quad (12)$$

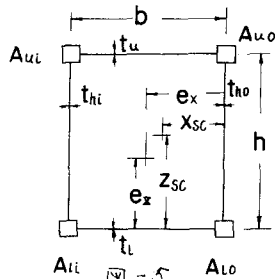
$$\sum_{k=1}^n \frac{d^2 \phi_k}{H^2} = - \sum_{k=1}^n e_k \lambda_{ke} + N_{kg} \lambda_{ge} - \sum M \dots \quad (13)$$

$$\mathcal{L}_0^k \frac{d^2 \Gamma_0^k}{dt^2} = \sum_{n=1}^4 \text{Corr} \sum_{j=1}^4 (N_{kj} \lambda_{kj} + N_{qj} \lambda_{qj}) - \sum_{h=0} \bar{Q} \dots \quad (14)$$

$$\frac{M_{K\bar{K}} d^2 V_R}{d f^2} = \sum_{i=1}^4 (N_{K\bar{K} i} M_{K\bar{K} i} + N_{K\bar{K}' i} M_{K\bar{K}' i}) \quad \dots \quad (18)$$



四 - 4



$$A_{ti} \rightarrow A_{tc}$$

前項2回目共、上記の運動方程式式(10)を代入し、 $\pm jK$ 、次の周期回数  $L_k = U_k e^{j\omega t}$ ,  $W_k = W_k e^{j\omega t}$ ,  $\Phi_k = \Phi_k e^{j\omega t}$ ,  $I_k = I_k e^{j\omega t}$ ,  $V_k = V_k e^{j\omega t}$  と変換を施す。これとの運動方程式をトラスの各構面に適用すれば  $\pm 3 = \pm K$  より、一連の運動方程式が得られる。結局、これより振動方程式が求められる。

#### 4. 横断面のせん断中心の位置

横断面のせん断中心位置は、往々3つの横断面をもつペネルのせん断中心の平均的位置であると仮定する。一ペネルのせん断中心の位置はそのペネルの各構面をせん断変形の等しい板の置換し、Four Flange Box Beam の一部であると見なし、せん断流理線より算出する。図-5を参照すると、一ペネルのせん断中心の位置は次式で表わされる。

$$X_{sc} = \bar{X}_{sc} - \frac{2bh}{K\phi} \left\{ \frac{A_{uo}}{t_{uo}A_u} \left( 1 - \frac{\delta}{A_s A_o} \right) - \frac{A_{uo}}{t_{uo}A_u} \left( 1 - \frac{\delta}{A_o A_e} \right), \right. \quad \left. \right\} \dots \quad (18)$$

$$Z_{SC} = \bar{Z}_{SC} - \frac{\varepsilon b h}{K \phi} \left[ \frac{1}{t_e} + \frac{h}{K b} \left\{ \frac{A_{u\ast}}{t_{hi} A_i} \left( 1 - \frac{\delta}{A_0 A_u} \right) + \frac{A_{u\ast}}{t_{ho} A_o} \left( 1 + \frac{\delta}{A_i A_u} \right) \right\} \right]$$

$$\bar{X}_{sc} = 2\bar{e}_x - b + \frac{bA_{sc}}{KA_i}(1 + \frac{S}{A_k A_p}), \quad \bar{Z}_{sc} = -\frac{bA_{sc}}{KA_i}(1 - \frac{S}{A_k A_p}), \quad K = 1 - \frac{S^2}{A_k A_p A_s A_o},$$

$$S = A_{\text{in}} \cdot A_{\text{lo}} - A_{\text{out}} \cdot A_{\text{hi}}, \quad \phi = b \left( \frac{1}{f_{\text{hi}}} + \frac{1}{f_{\text{lo}}} \right) + h \left( \frac{1}{f_{\text{hi}}} + \frac{1}{f_{\text{lo}}} \right).$$

#### 5. バリトランスへ、適用例。

次に主可錯元をもつ曲線トラス(図-6)の本解析法を適用し其結果を示す。

主トラス間隔: 7.0m, 主トラス高さ: 10.0m, パネル数: 8, 内側主トラス半径: 96.5m,

外側主トラス半径: 103.5m, 一パネルをはさむ中央角:  $4^\circ 48' 57''$ , 全中央角:  $39^\circ 30' 57''$ , 橋長(橋軸長さ): 67.2m.

横断面形変化無視の場合 | 横断面形変化考慮の場合

次数	振動数	卓越変位	次数	振動数	卓越変位
1	1.009	$U_h, V_h$	1	0.784	$W_h, \Theta_i, I_i'$
2	1.732	$W_h, \Theta_i$	2	0.985	$U_h, V_h$
3	2.504	$V_h, U_h$	3	2.355	$I_i', U_h$
4	3.438	$U_h, V_h$	4	2.904	$I_i', U_h$
5	3.693	$\Theta_i, W_h$	5	3.157	$\Theta_i, W_h$

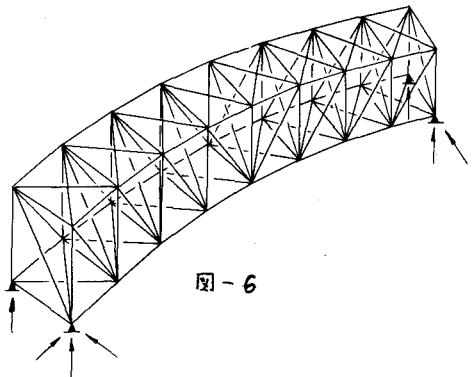


図-6

横断面形変化を無視すると、一次振動で水平変位が二次振動で鉛直変位と回転変位が卓越した。横断面形変化を考慮すると、一次振動で鉛直変位と水平および鉛直せん断変形が、二次振動で水平変位が卓越した。横断面形変化を考慮すると振動数が低くなる。

## 6. 真直ぐなトラスへの適用例

次に本計算元をもつ真直ぐなトラス(図-7)に適用した結果を示す。

主トラス間隔: 8.4m, 主トラス高さ: 6.5m  
パネル長: 5.1m, 橋長: 40.8m.

横断面形変化の無視あるいは考慮いづれの場合も  
橋軸に直角の水平変位がまだほんの一回転大回転変位あるいは水平せん断変位が卓越する振動型か  
一次となり、二次振動で鉛直変位が卓越した。  
図-7のようなく実橋と同じ支承条件では、卓越する変位と卓りきりものが明白である。このため、次のトライに近似計算するよりも可能である。

(横断面形変化無視の場合)…①鉛直および接線変位が卓越する振動型を求める場合、水平変位およびせん断中心よりの回転変位を無視する(平面トラスと同じ)。②水平変位および回転変位が卓越する振動型を求める場合、二軸以外の変位を無視する。(横断面形変化考慮の場合)…①鉛直および接線変位が卓越する振動型を求める場合、二軸以外の変位を無視する。②水平変位、鉛直および水平せん断変位が卓越する振動型を求める場合、鉛直変位を無視する。

このトラス橋を平面トラスとして、一次振動数を Rayleigh 法により求めると、3.580 rad/sec となり、上記の結果の 2 次振動( $W_h, V_h$  が卓越)が二軸に相当し、よく一致した。

## 7. 結び

以上、曲りトラス橋および真直ぐなトラス橋の主体的な自由振動解析法を述べ、その適用例を示すとともに、曲りトラスおよび真直ぐなトラス橋の動的性状を示した。